

Expansión $1/N$ y QCD en $1+1$ dimensiones

Anthony Freddy Canazas Garay

Mayo 2017

Es una teoría no abeliana, renormalizable y asintóticamente libre.

$$\mathcal{L}_{QCD} = -\frac{1}{4}F_{\mu\nu}^a F_a^{\mu\nu} + i\bar{\psi}_f \gamma^\mu D_\mu \psi_f - m_f \bar{\psi}_f \psi_f$$

$$D_\mu = \partial_\mu + igA_\mu$$

$$A_\mu = A_\mu^a T^a$$

$$F_{\mu\nu} = \partial_\mu A_\nu - \partial_\nu A_\mu + ig[A_\mu, A_\nu]$$

Hay una suma implícita $\sum_{f=1}^{N_F}$, N_F es el número de sabores

$(\psi_f)_j$ ($j = 1, 2, 3$) Representación fundamental

A_μ^a ($a = 1, 2, \dots, 8$) Representación adjunta

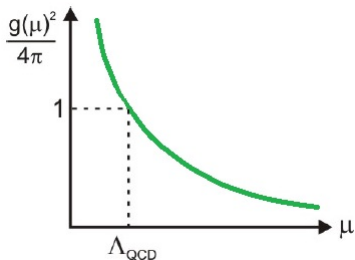
$$\text{tr}(T^a T^b) = \frac{\delta^{ab}}{2}$$

$$\sum_a F_{\mu\nu}^a F_a^{\mu\nu} = \sum_{ab} F_{\mu\nu}^a F_b^{\mu\nu} \delta^{ab} = 2\text{tr}(\sum_{ab} F_{\mu\nu}^a F_b^{\mu\nu} T^a T^b) = 2\text{tr}(F_{\mu\nu} F^{\mu\nu})$$

$$\mathcal{L}_{QCD} = -\frac{1}{2}\text{tr}(F_{\mu\nu} F^{\mu\nu}) + i\bar{\psi}_f \gamma^\mu D_\mu \psi_f - m_f \bar{\psi}_f \psi_f$$

Búsqueda de un método aproximado para QCD...

- La constante de acople g no es buen parámetro de expansión en el régimen de bajas energías.



Sugerencias de 't Hooft:

- Generalizar los tres colores de $SU(3)$ a N_c colores de $SU(N_c)$.
- Esperar que la teoría se simplifique para N_c grandes.
- Se obtiene un nuevo parámetro de expansión: $1/N_c$

Puede ser usada en teorías con grupo de simetría $SO(n)$ o $SU(n)$.

Modelo $O(N)\phi^4$

$$\mathcal{L} = \frac{1}{2}\partial_\mu\phi^a\partial^\mu\phi^a - \frac{1}{2}\mu_0^2\phi^a\phi^a - \frac{1}{8}g^2(\phi^a\phi^a)^2$$

Modelo de Gross-Neveu

$$\mathcal{L} = i\bar{\psi}^a\partial_\mu\gamma^\mu\psi^a + g^2(\bar{\psi}^a\psi^a)^2$$

Modelo $\mathbb{C}P^{N-1}$

$$\mathcal{L} = \partial_\mu z^\dagger\partial^\mu z - g^2 j_\mu j^\mu \quad j_\mu = -\frac{i}{2}(z^\dagger\partial_\mu z - (\partial_\mu z^\dagger)z) \quad z^\dagger z = g^{-2}$$

re-escalamiento

$$Ng^2 = t, \quad N \rightarrow \infty, \quad t \text{ fijo}$$

$$\mathcal{L}_{eff}(\sigma, N) = N\mathcal{L}_{eff}(\sigma, 1)$$

Expansión 1/N en QCD

Por comodidad se hace un re-escalamiento

$$t = g^2 N_c \text{ (t fijo)}, \quad A'_\mu = \sqrt{\frac{N_c}{t}} A_\mu, \quad \psi' = \sqrt{\frac{N_c}{t}} \psi$$

$$\mathcal{L}_{SU(N_c)QCD} = \frac{N_c}{t} \left[-\frac{1}{2} \text{tr}(F_{\mu\nu} F^{\mu\nu}) + i\bar{\psi} \gamma^\mu D_\mu \psi - m\bar{\psi} \psi \right]$$

Notar que g ya no aparece en D_μ ni en $F_{\mu\nu}$.

Conteo de potencias

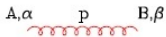
vértices $\propto N_c$

propagadores $\propto N_c^{-1}$

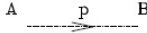
Ahora veamos otro aspecto...

Diagramas de Feynman

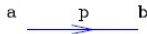
Reglas de Feynman convencionales



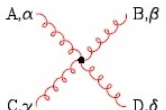
$$\delta^{AB} \left[-g^{\alpha\beta} + (1-\lambda) \frac{p^\alpha p^\beta}{p^2 + i\epsilon} \right] \frac{i}{p^2 + i\epsilon}$$



$$\delta^{AB} \frac{i}{p^2 + i\epsilon}$$



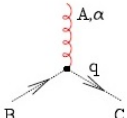
$$\delta^{ab} \frac{i}{\not{p} - m + i\epsilon}$$



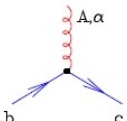
$$-ig^2 f^{XAC} f^{XBD} [g^{\alpha\beta} g^{\gamma\delta} - g^{\alpha\delta} g^{\beta\gamma}]$$

$$-ig^2 f^{XAD} f^{XBC} [g^{\alpha\beta} g^{\gamma\delta} - g^{\alpha\gamma} g^{\beta\delta}]$$

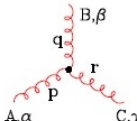
$$-ig^2 f^{XAB} f^{XCD} [g^{\alpha\gamma} g^{\beta\delta} - g^{\alpha\delta} g^{\beta\gamma}]$$



$$g f^{ABC} q^\alpha$$



$$-ig (t^A)_{cb} \gamma^\alpha$$

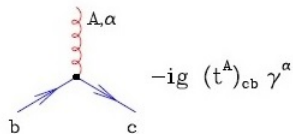
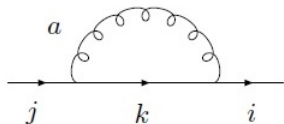


$$-g f^{ABC} [(p-q)^\gamma g^{\alpha\beta} + (q-r)^\alpha g^{\beta\gamma} + (r-p)^\beta g^{\gamma\alpha}]$$

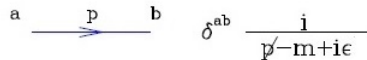
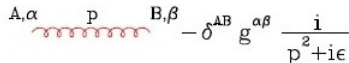
(all momenta incoming)

Doble línea

Es difícil (en general) seguir el rastro de los índices.
Por ejemplo



$$-ig (t^A)_{cb} \gamma^\alpha$$



$$\begin{aligned} &= (-ig(T^b)_i^m)(-i\delta^{ab})(-ig(T^a)_k^j)(i\delta_m^k)[\dots] \\ &= (-ig)^2(T^a)_i^k(T^a)_k^j[\dots] \\ &= -g^2 \frac{N_c^2 - 1}{2N_c} \delta_i^j[\dots] \end{aligned}$$

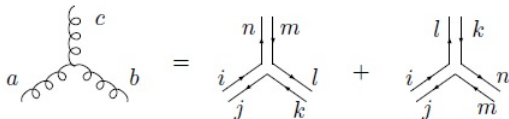
Importante notar! $\sum \delta_k^k = N_c$

Vértice cúbico de gluones

$$= -gf^{abc}$$

$$= 2ig\text{tr}(T^a[T^b, T^c])$$

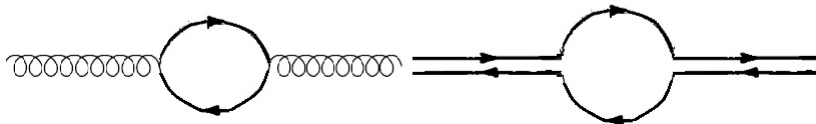
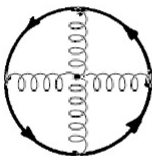
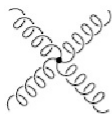
$$= 2ig[\delta_n^i \delta_j^k \delta_l^m - \delta_l^i \delta_j^m \delta_n^k](T^a)_i^j (T^b)_k^l (T^c)_m^n$$



El mismo análisis se puede generalizar a otros diagramas

$$A_\mu = A_\mu^a T^a = (A_\mu)_j^i e_i^j$$

$$a = 1, \dots, N_c^2 - 1 \quad \rightarrow \quad i, j = 1, \dots, N_c$$



Es fácil seguir el rastro de los índices a lo largo de la línea de gluones.

Amplitudes vacío-a-vacío

L : número de loops de índice

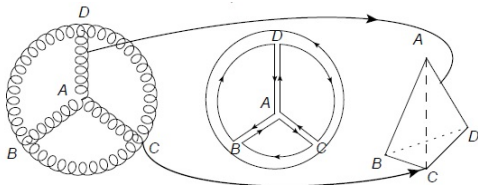
P : número de propagadores (quark o gluón)

V : número de vértices

Entonces

$$N_c^{V-P+L} = N_c^{\chi}$$

Se construye superficies orientables para el diagrama en doble línea



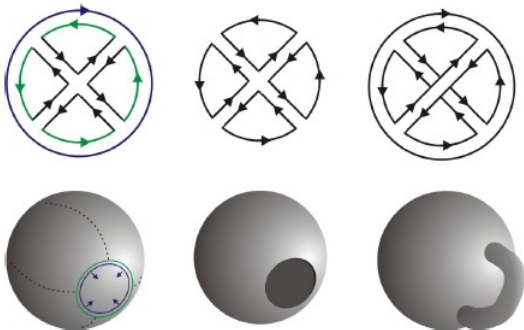
Cada loop de índice representa una cara (polígono)

Cada propagador representa una arista

Cada interacción representa un vértice

$$\chi = 2 - 2H - B$$

Toda superficie orientable es topológicamente equivalente a una 2-esfera con asas (H) y bordes (B).



$H = 0 \Leftrightarrow$ planar , $B = 0 \Leftrightarrow$ no hay loops de quarks. $H = 0 \Leftrightarrow$ planar , $B = 1 \Leftrightarrow$ hay un loop de quarks en el borde exterior.

$$N_c^X = N_c^{2-2H-B}$$

Primer Resultado: Los diagramas vacío-a-vacío dominantes son de orden N_c^2 . Son gráficos planares hechos solo de gluones.

Segundo Resultado: Los diagramas vacío-a-vacío con líneas de quark dominantes son de orden N_c . Son gráficos planares con borde.

Para crear un mesón: aplicar al vacío un bilineal de quark B

$$B : \bar{\psi}\psi, \bar{\psi}\gamma^\mu\psi, \bar{\psi}\sigma_{\mu\nu}\psi$$

Agregar a la acción: $S \rightarrow S + N_c \sum J_{B_i} B_i$

Los diagramas dominantes que contribuyen son digramas planares con inserciones en el loop de quarks.

$$\langle B_1 \dots B_n \rangle = \frac{1}{(iN_c)^n} \frac{\partial^n W}{\partial J_{B_1} \dots \partial J_{B_n}} \Big|_{J_{B_i}=0} \propto N_c^{-n} \times N_c$$

$$\langle B_1 \dots B_n \rangle \propto N_c^{1-n}$$

Para tener estados normalizados $B'_i = N_c^{1/2} B_i$

$$\langle B'_1 \dots B'_n \rangle \propto N_c^{\frac{2-n}{2}}$$

Hay resultados interesantes también para operadores de gluones.

Lo importante es entender que los polos de $\langle BB \rangle$ son las masas de los mesones.

En 1+1 dimensiones $F_{\mu\nu}$ solo tiene una componente no nula:
 $F_{01} = -F_{10}$.

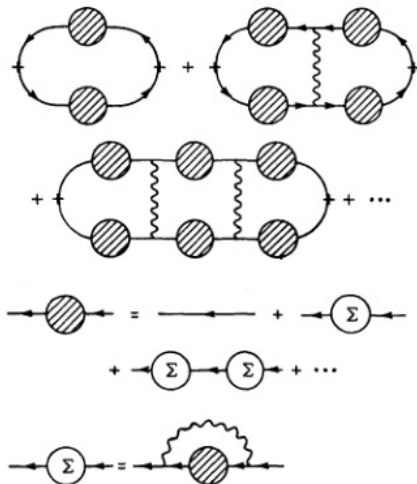
Gauge Axial $A_1 = 0$

Los términos no lineales en F_{01} son proporcionales a $A_0 A_1$, se anulan en el gauge axial. Se ha eliminado el autoacople de gluones. Se puede eliminar A_0 y escribir el lagrangiano de quarks

$$L_F = L_{F0} + \frac{g^2}{N} \int j_{0a}^b(x^0, x^1) |x^1 - y^1| j_{0b}^a(x^0, y^1)$$

Con lo que obtiene el propagador

$$D_{\mu\nu}(k) = -\frac{i}{2} \delta_{\mu 0} \delta_{\nu 0} \int d^2 x e^{ik \cdot x} |x^1 \delta(x^0)| = i \delta_{\mu 0} \delta_{\nu 0} \frac{P}{(k_1)^2}$$



El álgebra de matrices γ^μ se simplifica considerablemente si se pasa al gauge cono de luz, además es un gauge covariante (en 1+1 dimensiones).

Gauge cono de luz

Se define:

$$x^{\pm} = \frac{1}{\sqrt{2}}(x^0 \pm x^1)$$

La métrica es $ds^2 = 2dx^+dx^-$, lo cual implica

$$g_{+-} = g_{-+} = g^{+-} = g^{-+} = 1$$

También se tiene $(\gamma^+)^2 = (\gamma^-)^2 = 0$, $\{\gamma^+, \gamma^-\} = 2$

$$F^{+-} = F^{01} \frac{\partial x^+}{\partial x^0} \frac{\partial x^-}{\partial x^1} + F^{10} \frac{\partial x^+}{\partial x^1} \frac{\partial x^-}{\partial x^0} = F^{10}$$

Gauge cono de luz $A_- = A^+ = 0$

solo aparece γ^+

$$\gamma^+ \begin{pmatrix} 1 \\ \gamma^+ \\ \gamma^- \end{pmatrix} \gamma^+ = 2\gamma^+ \begin{pmatrix} 0 \\ 0 \\ 1 \end{pmatrix}$$

Para el propagador del gluón se usa la prescripción del valor principal

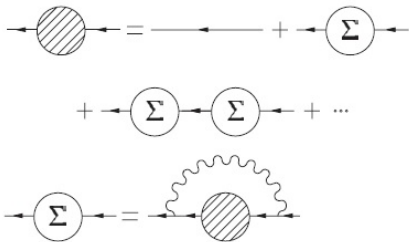
$$D_{\mu\nu}(k) = i\delta_{\mu+}\delta_{\nu+} \frac{P}{(k_-)^2}$$

$$D_{++}(k) = i \frac{P}{(k_-)^2}$$

Obviando γ^+, γ^- se puede escribir:

$$\frac{-ig\gamma^+}{\sqrt{N}} = \frac{-2ig}{\sqrt{N}}$$

$$S_0(p) = i \frac{p_+\gamma^+ + p_-\gamma^- + m}{2p_+p_- - m^2 + i\varepsilon} = \frac{ip_-}{2p_+p_- - m^2 + i\varepsilon}$$



Serie geométrica

$$S(p) = S_0(p) + S_0(p)(-i\Sigma(p))S_0(p) + S_0(p)[(-i\Sigma(p))S_0(p)]^2 + \dots$$

$$S(p) = \frac{S_0(p)}{1 + i\Sigma(p)S_0(p)} \times \frac{ip_- / S_0(p)}{ip_- / S_0(p)}$$

$$S(p) = \frac{ip_-}{2p_+p_- - m^2 + i\varepsilon - p_- \Sigma(p)}$$

$$-i\Sigma(p) = -4ig^2 \int S(p-q) \frac{\mathbf{P}}{(k_-)^2} \frac{d^2k}{(2\pi)^2}$$

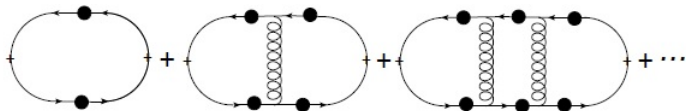
$$\Sigma(p) = -\frac{g^2}{\pi p_-}, \quad M^2 = m^2 - \frac{g^2}{\pi}$$

$$S_0(p) = \frac{ip_-}{2p_+p_- - m^2 + i\epsilon}$$

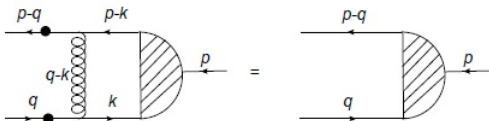
$$S(p) = \frac{ip_-}{2p_+p_- - m^2 + i\epsilon - p_- \Sigma(p)}$$

$$S(p) = \frac{ip_-}{2p_+p_- - M^2 + i\epsilon}$$

Función de Green para dos bilineales de quarks



Si hay un polo correspondiente a un mesón se tiene (Bethe-Salpeter):



Bethe-Salpeter equation

$$\psi(p, q) = -4ig^2 S(p - q)S(-q) \int \frac{P}{(k_- - q_-)^2} \psi(p, k) \frac{d^2k}{(2\pi)^2}$$

$$\psi(p, q) = -4ig^2 S(p - q)S(-q) \int \frac{P}{(k_- - q_-)^2} \psi(p, k) \frac{d^2k}{(2\pi)^2}$$

Se debe integrar $\phi(p, q_-) = \int \psi(p, q) dq_+$

$$\left[2p_+ - \frac{M_1^2}{q_-} - \frac{M_2^2}{p_- - q_-} \right] \phi(p, q_-) = -\frac{g^2}{\pi} \int_0^{p_-} \frac{P}{(k_- - q_-)^2} \phi(p, k_-) dk_-$$

Usando $\mu^2 = 2p_+p_-$, $q_- = xp_-$ y $k_- = yp_-$

$$\mu^2 \phi(x) = \left(\frac{M_1}{x} + \frac{M_2}{1-x} \right) \phi(x) - \frac{g^2}{\pi} \int_0^1 \frac{P\phi(y)dy}{(x-y)^2}$$

't Hooft usa una aproximación para la integral

$$\int_0^1 \frac{\phi(y)dy}{(x-y)^2} \approx \int_{-\infty}^{\infty} \frac{\phi(y)dy}{(x-y)^2}$$

además de asumir periodicidad. Para una función periódica se tiene

$$\int_{-\infty}^{\infty} \frac{e^{i\omega y} dy}{(x-y)^2} = -\pi|\omega|e^{i\omega x}$$

Aplicando a $\sin(\pi nx) = \frac{e^{i\pi nx} - e^{-i\pi nx}}{2i}$ y despreciando los otros términos, se tiene:

$$\phi_n(x) = \sin(\pi nx) \quad , \quad \mu_n^2 = g^2 \pi n$$

Comparación con partícula en una caja

Coleman sugiere reinterpretar la ecuación. Posición x , y momentum p . Con la misma aproximación anterior, la integral actúa como el operador $|p|$, que es proporcional al hamiltoniano (energía) de una partícula sin masa.

Partícula sin masa en un potencial y restringida a una caja (intervalo $[0,1]$):

$$\mu^2 \phi(x) = \left[\frac{M_1}{x} + \frac{M_2}{1-x} + g^2 |p| \right] \phi(x)$$

Para estados suficientemente excitados se desprecia el potencial

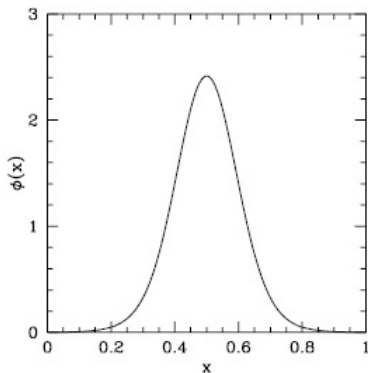
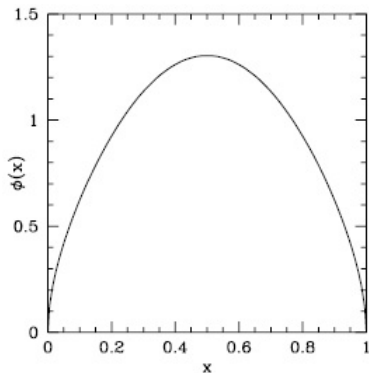
$$\mu^2 \phi(x) = g^2 |p| \phi(x)$$

$$\phi_n(x) = \sin(\pi n x) \quad , \quad \mu_n^2 = g^2 \pi n$$

Ground State

Para estados donde no se puede hacer esa aproximación se puede resolver numéricamente usando una transformación de Multhopp.

A. Manohar, Large N QCD, arXiv:hep-ph/9802419v1



$M_1 = M_2 = 1$, $\mu^2 = 2.7$
masas en unidades de $g/\sqrt{2\pi}$

$M_1 = M_2 = 10$, $\mu^2 = 20.55$